単調載荷時のバラスト道床の弾塑性有限要素解析結果に おけるバラスト材の Young 率の空間変動の影響

新潟大学大学院自然科学研究科 学生員 井口 建斗 新潟大学大学院自然科学研究科 正会員 紅露 一實 新潟大学工学部建設学科 阿部 和久

1. はじめに

国内外の鉄道路線で広く用いられているバラスト道床は, える. 列車の走行に伴う繰り返し荷重の作用により道床沈下等を 引き起こす.そのため,当研究室ではバラスト道床を弾塑 性連続体でモデル化し,道床沈下量の定量評価を試みてき た¹⁾. 中でも, Cyclic densification モデル²⁾は,解析時の計算 負荷の面からその実用化が期待されている.しかし,バラ スト材は砕石粒子の形状や配置の空間的不均一性に起因し て,その弾塑性挙動は空間的に変動すると考えられる.し かし,既往の研究ではこの変動の影響については未検討で ある. 本研究では, Cyclic densification モデルを対象に,単 調載荷時のバラスト道床の弾塑性解析結果におけるバラス ト材の Young 率の空間変動の影響を評価 検討する.

Cyclic densification モデルを用いた単調載荷

Cyclic densification モデル²⁾は , 単調載荷モデルと繰り返 し載荷モデルにより構成される.本研究で対象とする単調 載荷解析では,修正 Drucker-Prager モデルからなる単調載 荷モデルを用いる.構成則は微小変形を仮定し,次の亜弾 性構成式で与える.

$$\dot{\sigma}_{ij} = D_{ijkl} (\dot{\epsilon}_{kl} - \dot{\epsilon}_{kl}^p) \tag{1}$$

ここで σ_{ij} は応力テンソル , $(\dot{\ })$ は物質時間微分であり , 弾 性係数テンソル D_{ijkl} は線形性を仮定して次式で与える.

$$D_{ijkl} = \frac{E}{2(1+\nu)(1-2\nu)}$$
$$[(1-2\nu)(\delta_{ik}\delta_{jl} + \delta_{il}\delta_{jk}) + 2\nu\delta_{ij}\delta_{kl}] \qquad (2)$$

ここで, E は Young 率, ν はポアソン比である.

単調載荷時の塑性変形は,摩擦すべり 体積圧縮 引張破 壊の3つのメカニズムについて考える.摩擦すべりの降伏 条件は次式の Drucker-Prager の条件で与える.

$$f^f(q, p, \kappa_0^p) = -\frac{q}{p - p_{num}^t} - H^f(\kappa_0^p) = 0$$
 (3)

ここで, $p=\sigma_{kk}/3, q=\sqrt{rac{3}{2}(S_{ij}S_{ij})}, S_{ij}=\sigma_{ij}-p\delta_{ij}$ であ り, κ_0^p は摩擦すべりに関する塑性乗数速度である.

一方,体積圧縮・引張破壊に関する降伏条件は次式で与

$$f^{c}(p, \epsilon_{vol,c,0}^{p}) = -\frac{p}{p_{0}} - H^{c}(\epsilon_{vol,c,0}^{p}) = 0$$

$$f^{t}(p) = p - p^{t} = 0$$
(4)

$$f^t(p) = p - p^t = 0 (5)$$

ここで , $\epsilon^p_{vol,c,0}$ は体積圧縮に関する塑性乗数速度であり , H^f, H^c は次式で与える.

$$H^f(\kappa_0^p) = H_0 + (H_m - H_0)[1 - \exp(-\zeta^f \cdot \kappa_0^p)]$$
 (6)

$$H^{c}(\epsilon^{p}_{vol,c,0}) = 1 + \zeta^{c} \cdot \epsilon^{p}_{vol,c,0}$$
 (7)

また,流動則は次の非関連流動則で与える.

$$\dot{\epsilon}_{ij}^{p} = \dot{\kappa}_{0}^{p} m_{ij}^{f} + \dot{\epsilon}_{vol,c,0}^{p} m_{ij}^{c} + \dot{\epsilon}_{vol,t,0}^{p} m_{ij}^{t} \tag{8}$$

ここで , $\dot{\epsilon}^p_{vol.t.0}$ は引張破壊に関する塑性乗数速度である .ま た, $m_{ij}^f, m_{ij}^c, m_{ij}^t$ 流動方向規定テンソルである 3).

3. Young 率の空間変動を考慮したスペクトル有 限要素法

本研究では、Young 率の空間変動の影響を評価するため に,スペクトル確率有限要素法に基づく Anders & Hori の方 法 $^{3)}$ を用いる. 空間変動は Young 率 E についてのみ考えるこ (1) ととし, 定式化では bounding body 近似を用いる. bounding body 近似は, 弾性ひずみエネルギー速度 \dot{U}^e の期待値が,次 式の上下界を持つことに立脚する.

$$J'(\dot{\mathbf{u}}; \langle \mathbf{D} \rangle) < \langle \dot{U^e} \rangle < I'(\dot{\sigma}; \langle \mathbf{D}^{-1} \rangle) \tag{9}$$

ここで, J' は全ポテンシャルエネルギー速度, I' は Prager の適合条件およびつり合い条件についての制約条件つきひ ずみエネルギー速度である. bounding body は, 弾性係数テ ンソルが $\mathbf{D}^+ = \left\langle \mathbf{D}^{-1} \right\rangle^{-1}$, または $\mathbf{D}^- = \left\langle \mathbf{D} \right\rangle$ で与えられる 物体 V+, V- とする.

当該のつり合い問題の有限要素法では,第 i 荷重ステッ プでの第j N-R 反復で解く代数方程式が次式で与えられる.

$$[^{j-1}\mathbf{K}_{i}(E(\omega),^{j-1}\boldsymbol{\sigma}_{i}(\omega)]\{^{j}\Delta\mathbf{U}_{i}(\omega)\}$$

$$=\{\mathbf{F}_{i}^{ext}\}-\{^{j-1}\mathbf{F}_{i}^{int}(\omega)\}$$
(10)

ここで, ω は確率変数, \mathbf{F}_i^{ext} は等価節点力ベクトルである. まず,式(10)の接線剛性行列 $^{j-1}\mathbf{K}_i$ を,次式で近似する.

$$[^{j-1}\mathbf{K}_i(E(\omega),^{j-1}\boldsymbol{\sigma}_i(\omega)]\approx[^{j-1}\mathbf{K}_i(E(\omega),^{j-1}\boldsymbol{\sigma}_i^\pm)] \quad (11)$$

なお, σ^{\pm} は bounding body V^{\pm} で評価される応力で,その 増分は全ひずみ増分の期待値をもとに与えられる.一方,式 (10) の内力ベクトル $^{j-1}\mathbf{F}_{i}^{int}$ は,その期待値によって次式 のように近似する.

$$\{j^{-1}\mathbf{F}_i^{int}(\omega)\} \approx \langle \{j^{-1}\mathbf{F}_i^{int}\}\rangle$$
 (12)

最後に,Eの Karhunen-Loeve 展開, $\{^j\Delta\mathbf{U}_i\}$ の polynomial chaos 展開をそれぞれ次式で与える.

$$E = \langle E \rangle (1 + \sum_{l=0}^{M} \xi_m \sqrt{\lambda_m} \phi_m)$$
 (13)

$$E = \langle E \rangle (1 + \sum_{l=0}^{M} \xi_m \sqrt{\lambda_m} \phi_m)$$

$$\{{}^{j} \Delta \mathbf{U}_i\} = \sum_{l=0}^{L-1} \{{}^{j} \Delta \mathbf{U}_i^{(l)}\} \Psi_l(\xi)$$

$$(13)$$

ここで , ξ_m は確率変数 , $\sqrt{\lambda_m}$, ϕ_m は共分散関数の固有値 , 固有関数である . また , Ψ_l は正規化された polynomial chaos である.式(11) (14)を式(10)に代入し,Ψιを重みとした 確率空間での Galerkin 法を適用すると, 各増分ステップ・ 各 N-R 反復で解く代数方程式を得る.

4. 解析結果

バラスト軌道を模擬した解析領域を図1に示す.解析で は, Young 率 E の変動係数, 相関長さを変化させた計算を 行い, A 点 B 点 (図1参照) における最大荷重作用時の変位 の変動について検討する.解析結果は図2-図4に示す.変 位は下向きを正とし,図中の実線は変位の期待値,点線は 変位の期待値 ± 標準偏差を表す. 図2は, A点 B点での変 動係数 15% 相関長さ 0.25m としたときの荷重-変位関係で ある . 図より , 入力データである Young 率の変動係数 15% に対して,変位の変動係数は10%程度と変動の度合いは若 干小さく現れている.また,図3図4は図2に対して,そ れぞれ変動係数 相関長さを変化させたものである 図2と 図3を比較すると,変動係数を15%から1%へ減少させた 場合,変位の変動係数も同様に 10% から 0.6% に減少して いる.一方,図2と図4を比較すると,相関長さを0.25m から 0.1m へ減少させた場合,変位の変動係数は 10% から 5% に減少している.これらの傾向は変位の観測位置によら ないことがわかった.今後は,繰り返し載荷モデルについ て同様の検討を行うこととしたい.

謝辞

本研究は JSPS 科研費 15K06177 の助成を受けたものです.

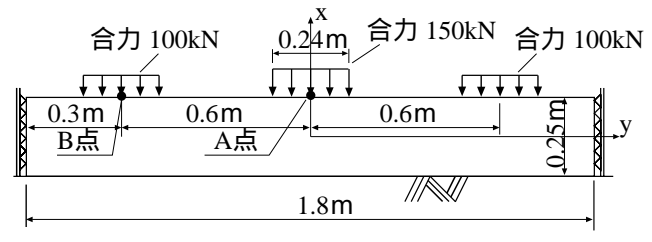


図1解析領域

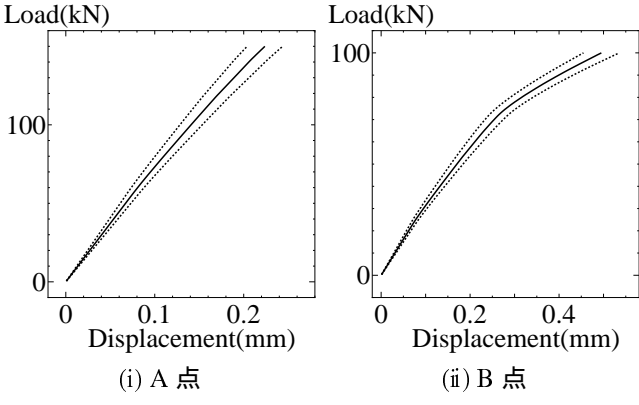


図2 変動係数 15%, 相関長さ 0.25m の荷重-変位関係

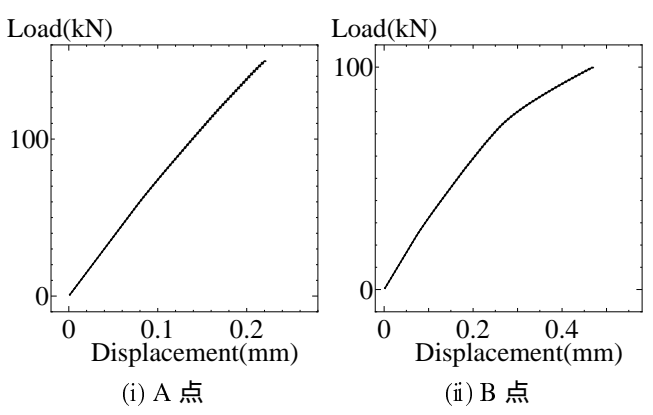


図3 変動係数 1%, 相関長さ 0.25m の荷重-変位関係

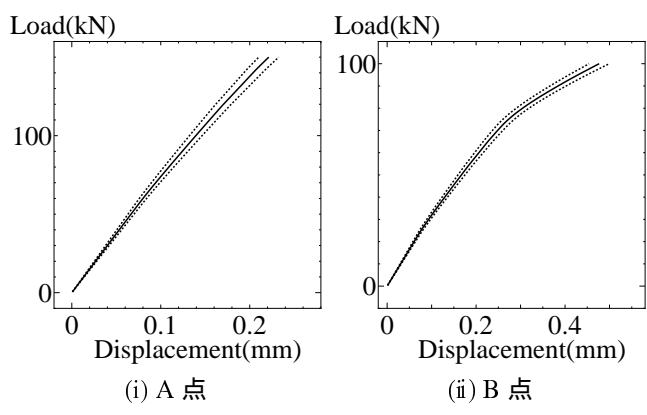


図4 変動係数 15%, 相関長さ 0.1m の荷重-変位関係

参考文献

- , 阿部和久:まくらぎの浮きを考慮した軌 道振動・道床沈下連成解析 , 土木学会鉄道工学シンポジウム 論文集 , Vol.19 , pp.127-134 , 2015. 2) Suiker, A.S.J. & de Borst, R.: A numerical model for the cyclic
- deterioration of railway tracks. Int.J.Numer.Meth.Engng., Vol. 57, pp.441-470, 2003.
- Anders, M. & Hori, M.: Stochastic finite element method for elasto-plastic body. Int.J.Numer.Meth.Engng., Vol.46, pp.1897-1916, 1999.